

$$Z(28A^{2/3} + 88) = 48A$$

$$Z = \frac{48A}{28A^{2/3} + 88} = \frac{A/2}{1 + \frac{28}{88}A^{2/3}} = \frac{A}{2} \frac{1}{1 + \frac{7}{22}A^{2/3}}$$

$\frac{7}{28}$ kicsi szám

Kis A-n $N=Z$, nagyobb A-ra eltér

$$E_{\text{tot}}(A) = \dots$$

A radioaktivitás

Statisztikus lép:

N db atom $\begin{matrix} 0 & 0 \\ 0 & 0 \end{matrix}$ független az γ atommagtól.

$p_1 = \lambda dt \rightarrow$ elbomlás valószínűsége bomlásra
 \hookrightarrow időegységre jutó bomlási valószínűség, bomlási állandó

1. az atomok egymástól függetlenek

2. λ nem függ időtől

dt idő alatt n db atommag füg. elbomlasi
 valószínűségi vektor

$p(n) = ?$ binomiális eloszlás $p(0) = (1-p_1)^N$ $p(1) = p_1(1-p_1)^{N-1}$ N

$$p(n) = \binom{N}{n} p_1^n (1-p_1)^{N-n}$$

$$p(2) = \binom{N}{2} p_1^2 (1-p_1)^{N-2}$$

csak egész értékeket vesz föl

$$\bar{n} = \sum_{n=0}^N n p(n) = \sum_{n=1}^N n \binom{N}{n} p_1^n (1-p_1)^{N-n} = \sum_{n=1}^N N \binom{N-1}{n-1} p_1^n (1-p_1)^{N-n} = N p_1 \sum_{n=1}^N \binom{N-1}{n-1} p_1^{n-1} (1-p_1)^{N-1-(n-1)}$$

$$= N p_1$$

$$\sigma_n^2 = N p_1 (1-p_1)$$

ha $p_1 \ll 1$ $\lambda dt \ll 1 \Rightarrow \bar{n} \approx \sigma_n^2$

$$\frac{\sigma_n}{\bar{n}} = \frac{1}{\sqrt{\bar{n}}} \text{ a relatív szórási}$$

Poisson-eloszlást csinálunk belőle:

$N p_1 = \text{const.}$ $N \rightarrow \infty$ $\lambda dt = p_1 \rightarrow 0$

$$n! \approx \left(\frac{n}{e}\right)^n \sqrt{2\pi n}$$

$$p(n) = \frac{N!}{n!(N-n)!} p_1^n (1-p_1)^{N-n} = \frac{\left(\frac{N}{e}\right)^N \sqrt{2\pi N}}{\left(\frac{n}{e}\right)^n \sqrt{2\pi(N-n)} n!} p_1^n (1-p_1)^{N-n} =$$

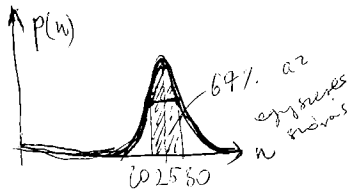
$$= \frac{N^N \sqrt{N}}{(N-n)^{N-n} \sqrt{N-n}} p_1^n (1-p_1)^{N-n} \frac{1}{n!} \frac{e^{-N}}{e^{-(N-n)}} = \frac{N^n p_1^n}{n!} \frac{N^{N-n} \sqrt{N} (1-p_1)^{N-n}}{(N-n)^{N-n} \sqrt{N-n}} e^{-n}$$

$$= \frac{(N p_1)^n}{n!} e^{-n} \left(\frac{N - N p_1}{N - n} \right)^{N-n} \sqrt{\frac{N}{N-n}} \approx *$$

~~szorzás~~ $\frac{n}{N} \rightarrow 0$ $\sqrt{\frac{1}{1-\frac{n}{N}}} \rightarrow 1$ $\left(\frac{N - N p_1 - n + n}{N - n} \right)^{N-n} = \left(1 + \frac{n - N p_1}{N - n} \right)^{N-n} \rightarrow$

$$* \frac{(N p_1)^n}{n!} e^{-n} e^{n N p_1} = \frac{(N p_1)^n}{n!} e^{-N p_1} = \frac{(\bar{n})^n e^{-\bar{n}}}{n!} \text{ Poisson - eloszlás}$$

ha ~~szorzás~~ $\bar{n} \gg 1$ Gauss - görbéhez hasonlít



$$e^{-\frac{(n-\bar{n})^2}{2\sigma_n^2}} = e^{-\frac{(n-\bar{n})^2}{2\bar{n}}}$$

N részecske $\xrightarrow{\text{dt idő alatt}}$ $N^* - \bar{n} = N'$

$$\Delta N = -\bar{n} = -N p_1$$

$$\Delta N = -N \cdot \lambda \cdot dt \Rightarrow \frac{dN}{dt} = -\lambda N$$

N a megfelelő atommagok
átlagos száma
az egyenü bomlás
differenciálegyenlete

$$N(t) = N_0 e^{-\lambda t}$$

felezési idő: $\frac{N_0}{2} = N_0 e^{-\lambda T_{1/2}} \Rightarrow T_{1/2} = \frac{\ln 2}{\lambda}$

átlagos élettartam:



$$\int_0^{\infty} t p(t) dt$$

$$p(t) = \frac{e^{-\lambda t}}{\int_0^{\infty} e^{-\lambda t} dt}$$

$$\tau = \frac{\int_0^{\infty} t p(t) dt}{\int_0^{\infty} e^{-\lambda t} dt} = \frac{\int_0^{\infty} t e^{-\lambda t} dt}{\frac{1}{\lambda}} = \frac{1}{\lambda} = \frac{T_{1/2}}{\ln 2}$$

$$\tau > T_{1/2}$$

pl. neutron szabadon: $T_{1/2} \approx 8 \text{ per}$
 $\tau \approx 11 \text{ per}$

időegység alatt bomlások száma az aktivitás: A
egyenü bomlás esetén: $A = -\frac{dN}{dt} = \lambda N_0 e^{-\lambda t} = \lambda N(t)$

$A = \lambda N$

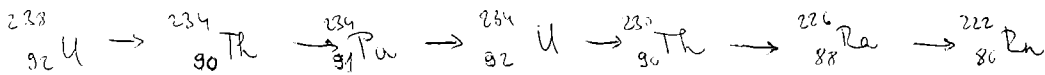
^{137}Cs \rightarrow talajban atomrobbanás miatt \rightarrow egyenü bomlás

^{238}U
 ^{235}U } \rightarrow tovább bomlik

^{18}F $\rightarrow \beta^+$

^{14}C

^{40}K \rightarrow egyenü β^+ , β^- bomlás



bomlási sor

$$\frac{N_1(t)}{N_1(t)} \quad N_2(t) \quad N_3(t) \quad N_4(t) \quad N_i(t)$$

$$\dot{N}_1 = -\lambda_1 N_1 \quad \dot{N}_2 = -\lambda_2 N_2 + \lambda_1 N_1 e^{-\lambda_1 t}$$

$$N_{2,220\text{m}} = A e^{-\lambda_2 t} \quad N_{2,220\text{m}} = B e^{-\lambda_1 t}$$

$$-\lambda_1 B e^{-\lambda_1 t} = -\lambda_2 B e^{-\lambda_1 t} - \lambda_1 N_{10} e^{-\lambda_1 t}$$

$$B = \frac{\lambda_1}{\lambda_2 - \lambda_1} N_{10}$$

$$N_2(t) = A e^{-\lambda_2 t} + \frac{\lambda_1}{\lambda_2 - \lambda_1} N_{10} e^{-\lambda_1 t}$$

$$N_2(0) = N_{20} \text{ kezdési feltételhez} \quad N_{20} = A \cdot 1 + \frac{\lambda_1}{\lambda_2 - \lambda_1} N_{10} \cdot 1$$

$$A = N_{20} - \frac{\lambda_1}{\lambda_2 - \lambda_1} N_{10}$$

$$N_2(t) = N_{20} e^{-\lambda_2 t} + \frac{\lambda_1 N_{10}}{\lambda_2 - \lambda_1} (e^{-\lambda_1 t} - e^{-\lambda_2 t})$$

az abszolút aktivitás az aktivitások összege

$$A_{\text{TOT}} = \sum_i \lambda_i N_i$$

$$\dot{N}_1 = -\lambda_1 N_1 \quad \dot{N}_2 = -\lambda_2 N_2 + \lambda_1 N_1$$

$$\dot{N}_3 = -\lambda_3 N_3 + \lambda_2 N_2 \rightarrow \sum_{i=1}^2 a_i \cdot e^{-\lambda_i t}$$

$$N_3(t) = \sum_{i=1}^2 b_i e^{-\lambda_i t}$$

$$b_3 = \frac{\lambda_1 \lambda_2}{(\lambda_3 - \lambda_1)(\lambda_3 - \lambda_2)}$$

$A \rightarrow L \rightarrow \text{Stabil}$

Radioaktív egyensúly:

$$A_1(t) = \lambda_1 N_{10} e^{-\lambda_1 t}$$

$$A_2(t) = \frac{\lambda_1 \lambda_2}{\lambda_2 - \lambda_1} N_{10} (e^{-\lambda_1 t} - e^{-\lambda_2 t})$$

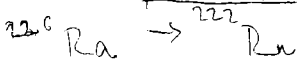
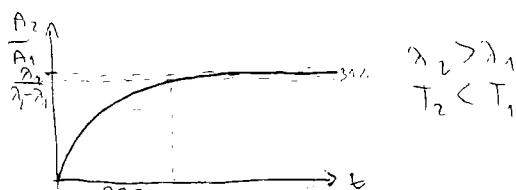
} nem lehetnek egyenlők

$$\frac{A_2(t)}{A_1(t)} = \frac{\lambda_2}{\lambda_2 - \lambda_1} (1 - e^{-(\lambda_2 - \lambda_1)t})$$

→ konst.

Def: $\exists t_0 : t > t_0 \mid \left| \frac{A_2}{A_1} - R \right| < \epsilon$

(van beállási idő)



$$T_{\text{Ra}} = 1500 \text{ év} \quad T_{\text{Rn}} = 3,8 \text{ nap}$$

beállási idő:

$$t = \frac{\ln 0,01}{\ln 2} \cdot \frac{\ln 2}{\lambda_1 - \lambda_2} = \frac{\ln 0,01}{\ln 2} \frac{1}{\frac{\lambda_1}{\ln 2} - \frac{\lambda_2}{\ln 2}} =$$

MAG. - ES RÉZTÉR.

$$= \frac{\ln 0,01}{\ln 2} \cdot \frac{1}{\frac{1}{T_1} - \frac{1}{T_2}} \approx - \frac{\ln 0,01}{\ln 2} T_2 = 6,64 T_2 = 25,25 \text{ nap}$$

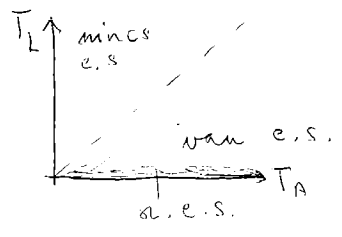
²³⁸U → ²³⁴Th → ²³⁴Pa → ezeket álljon be az egyensúly

$$\frac{A_i(t)}{A_1} \approx R = \frac{\sum_{k=1}^i a_{ik} e^{-\lambda_k t}}{\lambda_1 N_{i0} e^{-\lambda_1 t}} = \frac{1}{\lambda_1 N_{i0} t_1} (a_{i1} + a_{i2} e^{(\lambda_1 - \lambda_2)t} + a_{i3} e^{(\lambda_1 - \lambda_3)t} + \dots)$$

²³⁸U = 4,4 milliárd év → λ₁ elhanyagolható a többi mellett

²³⁴U = 250 millió év → nagyon sokáig áll be az egyensúlyba → ez alatt idővel nagyon kevés van

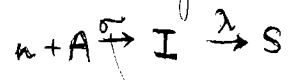
az uránium secularis egyensúlyba tud beállni
 Ls $\frac{\lambda_2}{\lambda_2 - \lambda_1} \approx \frac{\lambda_2}{\lambda_2} = 1$ $T_1 \gg T_2$



$\frac{T_A}{T_A}$ arány számít csak

Indultalt radioaktivitás

neutronbesugárzás



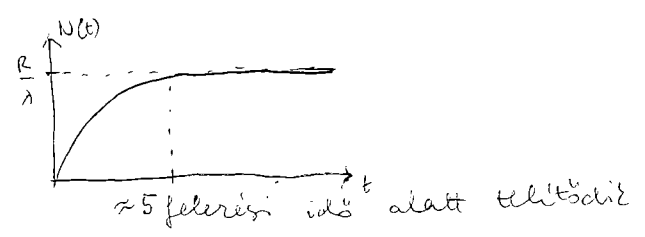
$\dot{N}_n = \sigma \int N_{CA} = R$ neutronbefogás hatáskeresztmetszete
 neutronfluxus

$$\dot{N}_I = -\lambda N_I + R \quad N_I = Ae^{-\lambda t} + \frac{R}{\lambda}$$

k.f. $N(0) = 0 \rightarrow A = -\frac{R}{\lambda}$

$$N_I(t) = \frac{R}{\lambda} (1 - e^{-\lambda t})$$

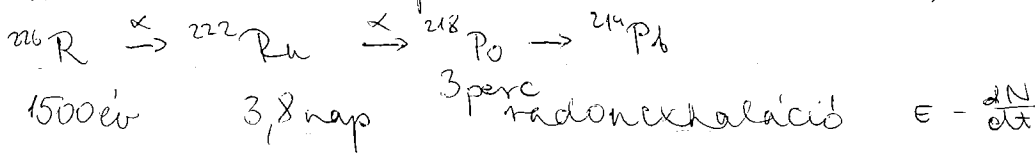
$$A_I(t) = \lambda N_I(t) = R(1 - e^{-\lambda t})$$



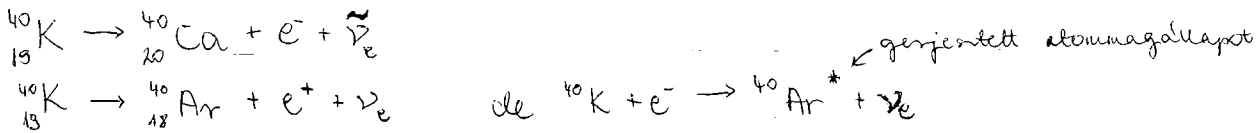
Radioaktivitás minőségi jellemzői

(Az exponenciális bomlás felfedezése:
 urániumérc minta aktivitása ajtónyitáskor Rutherford
 megváltozik → dobozban megszűnik → felfogta a
 radioaktív gázt → elkülönítette ²²²Rn $T_{1/2} = 3,8 \text{ nap}$ →

→ aktivitás exponenciálisan csökken)

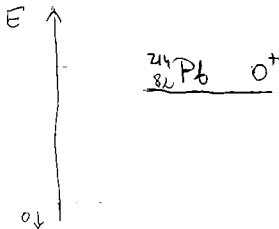
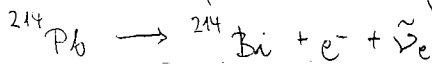


Párhuzamos bomlás



$N_1 = -\lambda_1 N_1 - \lambda_2 N_1 \quad \lambda = \lambda_1 + \lambda_2$

csatorna^{arány} valószínűség: $g_1 = \frac{\lambda_1}{\lambda_1 + \lambda_2}$



← gerjesztett állapotok
 vagy szűz (3-4) perditete ⇒ perditettségmaradás

β -bomlás → spin, paritás → tértüközésre való szimmetria

teljes perditettség

$\hat{P}f(x) = f(-x)$

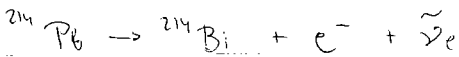
$I = \sum_{i=1}^N L_{pi} + \sum_{i=1}^N L_{ni} + \sum_{i=1}^N S_{pi} + \sum_{i=1}^N S_{ni}$

$\hat{P}^2 = 1 \quad \lambda_{P^2} = 1 \quad \lambda_P = \pm 1$

ha Z és N páros akkor $I = 0$

$\Upsilon(x) \rightarrow$ paritás sajátállapot

minden atommagra $\Upsilon = \pm 1$



$0 = 3 \quad \frac{1}{2} \quad \frac{1}{2} + L e \tilde{\nu}_e$

a β -bomlás valószínűsége nagyobb, ha $L e \tilde{\nu}_e$ kicsi

⇒ gerjesztett állapotok is keletkeznek → mindegyikkel meg van

a valószínűsége

a végállapot spinje megmondja a valószínűséget

ezernél különböző bomlási állandója van → összeradjuk őket

csatornaarány: $g_3 = \frac{\lambda_3}{\sum \lambda_i}$

γ -fotonok lépnek ki, ha gerjesztett állapotba ment

Radioaktív családok

^{238}U 4,5 milliárd év

^{232}Th

tömegszám változhat 0, 4 - et

a családokat 4-gyel való oszthatóság szerint \Rightarrow 4 család

4-gyel osztható: ^{232}Th legvalószínűbb bomlási sorok

aldalágai is vannak \rightarrow mesterségesen létrehozható

^{237}Np 2 millió év $\rightarrow \dots \rightarrow ^{209}\text{Bi}$ van a természetben

^{238}U 4,4 milliárd év

^{235}U 7 milliárd év

Radioaktív bomlás minőségi leírása

α -bomlás $^{222}\text{Rn} \rightarrow ^{218}\text{Po} + \alpha$

\downarrow
 He^{2+} (Nap sűrűségi vonalaival egyező vonalaktól találták ki)

energiája 4-10 MeV

β -bomlás

\ominus $^{14}\text{C} \rightarrow ^{14}\text{N} + e^- + \bar{\nu}_e$

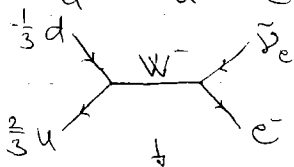
magorint

$n \rightarrow p^+ + e^- + \bar{\nu}_e$

neutronint

$d \rightarrow u + e^- + \bar{\nu}_e$

kvarkint

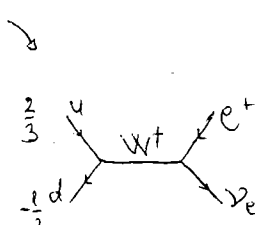


gyenge kölcsönhatás

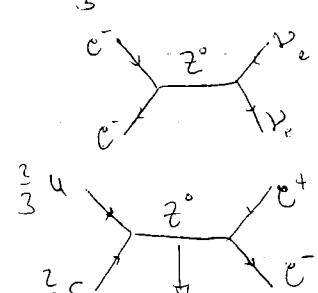
\oplus $^{18}\text{F} \rightarrow ^{18}\text{O} + e^+ + \nu_e$

$p \rightarrow n + e^+ + \nu_e$

$u \rightarrow d + e^+ + \nu_e$



\otimes semleges áram



elektron - pozitron párt felt

$$n \rightarrow p + e^- + \tilde{\nu}_e$$

$$p \rightarrow n + e^+ + \nu_e$$

$$n + e^+ \rightarrow p + \tilde{\nu}_e$$

$$p + e^- \rightarrow n + \nu_e$$

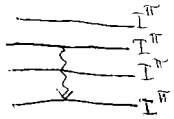
⇒ K-befogás

$$n + \nu_e \rightarrow p + e^-$$

$$p + \tilde{\nu}_e \rightarrow n + e^+$$

⇒ inverz β^+ -bomlás

γ -bomlás: atommag gerjesztett állapota → alapállapot



a magspintől és a paritástól függ melyik átmenet lehetséges

gerjesztett állapotokat spin, paritással írjuk le

↳ lehet egyrészecske típusú gerjesztés ⇒ egy részecske + egy lyuk
↳ több részecske

↳ kollektív ⇒ globális változás pl. forgás, vibráció (rezgés) (pulzálás)
vannak hosszú feladási idejű állapotok (izomér)
↳ nagyon eltér az alapállapottól

belső konverzió

gerjesztett állapot egy külső részecskénél → e hejón lévő elektronok adja át az energiáját
belső konverziós elektron kilép adott energiával
(nem fotonos energiaátvitellel, mint β -bomlás e^- -et)

hasadás

lét hasadvány → stabilitástól lefele ⇒ β^- -bomlás atommagoké hasadnak

teletterett részecskék eloszlása mindig lét típusú leve neutronok is teletkeznek a hasadáskor

~ 200 MeV ⇒ nagyon nagy a nukleáris energia sűrűsége

^{235}U ami hasad → termikus neutronre hasad

α -bomlás:

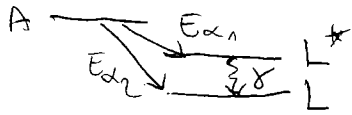
→ bomlómag visszalökődése



$$\frac{p^2}{2m_\alpha} + \frac{p^2}{2m_L} = Q$$

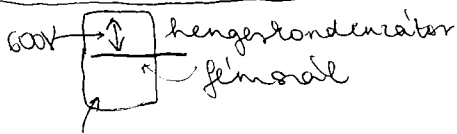
E_α ← mozgási energia
 $(m_A - m_C - m_\alpha)c^2$ ← felszabaduló energia
 $\frac{p^2}{2 \cdot 4 \cdot m_N} + \frac{p^2}{2(A-4)m_N} = \frac{p^2}{2 \cdot 4 \cdot m_N} \left(1 + \frac{4m_N}{(A-4)m_N}\right) =$
 $E_\alpha = \frac{A-4}{A} Q$ → majdnem az egész Q az α -részecskére jut
 nullainis tömeggyóggy = $E_\alpha \frac{A}{A-4} = Q$

Fényviselkedése: többnyire energiájú α keletkezit

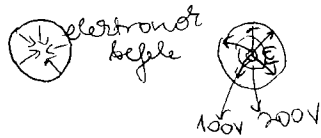


γ -t detektálva $E_{\alpha 1} - E_{\alpha 2}$ ✓
 → α - γ koincidencia

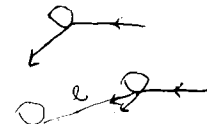
α -detektálás GM csővel:



benne gáz-gőz keverék → α -részecske ionizálja a molekulákat
 → elveszi az energiáját és megáll



$E_e < E_i$ ütközés
 $E_e > E_i$ ionizáció



két ütközés között gyorsul $E_e = qEl = qE\lambda > E_i$
 $\bar{E} > \frac{E_i}{\lambda q} \Rightarrow$ ionizáció (szabad ütközés)

ez egy bizonyos sugáron belül már teljesül → gázerősítés
 → sok elektron → központi anódszálra → I áram amivel nagyobb minél nagyobb az erősítés

GM cső tartomány → önfenntartó kisülés
 elektronlavina → katódfotoeff., nagy feszültség
 UV fotonok valószínűsége

nem tudja mérni az α energiáját

Nanóáram $\sim N$ keletkezett $\sim E_{det}$

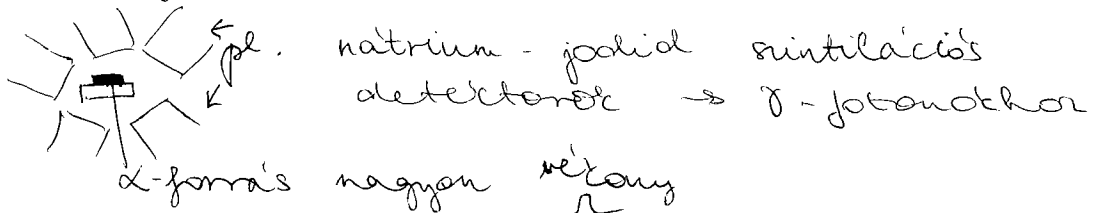
ionizációs kamra

ugyaner kisebb feszültségen (proporcionális kamra)

jel magassága $\sim \alpha$ -részecske detektorban leadott energi

α -rész rövid (néhány μm) alatt megáll \Rightarrow nagyon vékony ablak kell \downarrow
 vékonyablakos GM-cső

α -részecskét felvezető detektorral mérjük
 szilícium, germanium egykristály

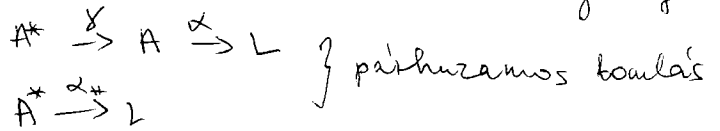
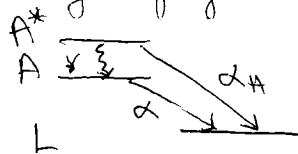


coincidencia ablak

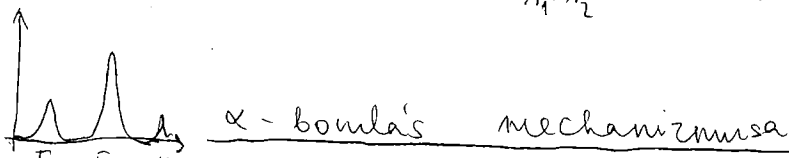
$E_{\alpha_1} \rightarrow E_{\gamma} \left(\begin{array}{l} \alpha E_{\alpha_2} - E_{\alpha_1} \\ \text{gerjesztett leányelem alapállapot visszatérése} \end{array} \right) \Rightarrow$ finomszerkezeti átmenet

hosszú hatótávolságú α -bomlás: több az energiája, mint a fókuszos $4-8 \text{ MeV}$ $\rightarrow \approx 10 \text{ MeV} - 11 \text{ MeV}$

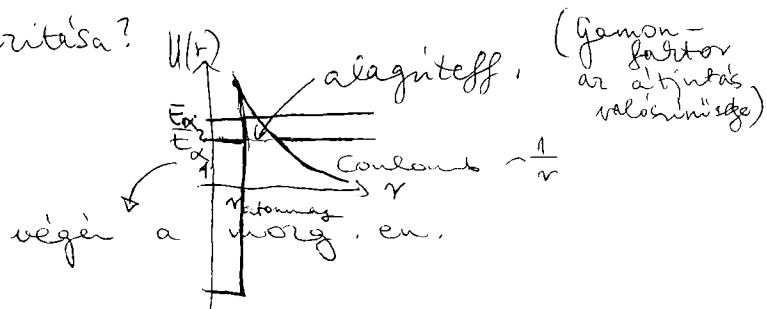
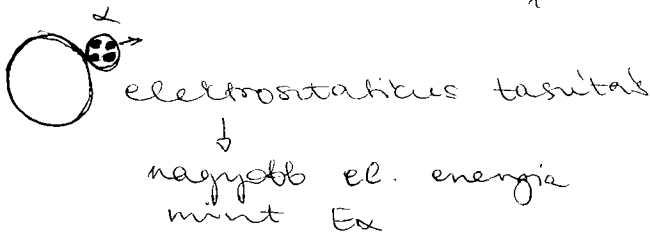
az anyamag gerjesztett állapotából ~~sz~~ keletkezik a leánymag



$\frac{\lambda_1}{\lambda_1 + \lambda_2} = 80\%$ elágazási arány



miért kisebb E_{α_1} intenzitása?



$E_{\alpha_1} < E_{\alpha_2} \Rightarrow$ más az átlagyutazni való potenciál alatti terület: $G \sim e^{-T}$ tunnel $\Rightarrow E_{\alpha_1}$ -nél kisebb az átjutási valószínűsége

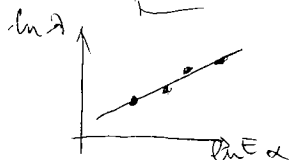
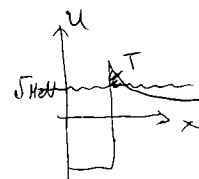
Geiger - Nuttal - tör

$E_\alpha \sim 5 \text{ MeV}$

λ bomlási állandó

$$\begin{cases} \ln \lambda \sim A \ln E_\alpha + B \\ \ln \lambda \sim A \frac{1}{\sqrt{E_\alpha}} + B \end{cases}$$

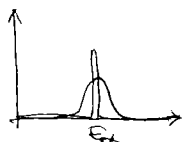
$\lambda \sim G \sim e^{-T_{\text{mélter}}}$



alpha-bomlás energiaceloslása

$P(E_\alpha)$

$(m_A - m_L - m_\alpha) c^2 = Q \rightarrow E_\alpha$



$\delta(E_\alpha)$

első közelítésben

Dirac-delta DE

természetes vonalszélesség: Γ

Lorentz-görbe alatti eloszlás

$\phi(x,t) = \psi(x) e^{-\frac{iE_0 t}{\hbar}}$

→ hullámfüggvénye E_0 energiájú

$|\phi(x,t)|^2 = |\psi(x)|^2 \rightarrow$ időfüggetlen állapot

állapotnak

→ de az α nem időfüggetlen

⇒ új tagot rakunk a hullámfü. be empirikusan

$\phi(x,t) = \psi(x) e^{-\frac{iE_0 t}{\hbar}} e^{-\frac{\Gamma t}{2\hbar}} = \int \psi_E(x,t) g(E) dE \rightarrow$

$|\phi(x,t)|^2 \sim e^{-\Gamma t/\hbar}$

energiaszórási állapotok összege

$|g(E)|^2 = p(E)$ mérési valószínűség

$g(E) = \frac{1}{E - E_0 + \frac{i\hbar\Gamma}{2}}$

$|g(E)|^2 = \frac{1}{(E - E_0)^2 + \frac{\hbar^2\Gamma^2}{4}}$ ← Lorentz-görbe

jeléltételezősség = $\frac{\hbar}{2\tau} = \Gamma$

↑ energiabizonytalanság

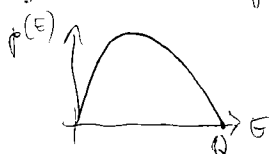
$\Gamma\tau = \frac{\hbar}{2}$ olyan, mint a Heisenberg

↑ átlagos élettartam

beta-bomlás energiaceloslása:

folytonos energiaceloslás

Fermi - elmélet



$(m_A - m_L - m_e) c^2 = Q$

$Q = E_L + E_e + E_{\nu_e}$
↑
maximális

ha $Q \gg m_e c^2$

$E = \sqrt{p^2 c^2 + m_0^2 c^4} \approx pc$ ultrarelativisztikus közelítés

ebben a közelítésben az elektronok egy parabola



γ -sugárzás

atommagok elektromágneses átmenetiből:

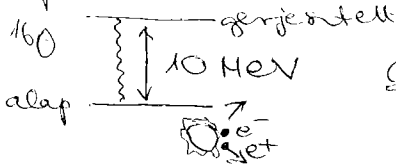
- ↳ γ -sugárzás
- ↳ belső konverzió

ha kicsi a γ valószínűsége

$E_c = E^* - I - E_v$

 ↳ összes energia ↳ visszatérési energiák

↳ párteltetés



γ -sug. le van tiltva párteltetés

perdület sajátállapotú γ -foton

spin típusa: $i \rightarrow \hat{S}^2, \hat{S}_z$

$i = 0, \frac{1}{2}, 1, \frac{3}{2}, 2, \dots$ $i(i+1)\hbar^2 \rightarrow i\hbar, (i-1)\hbar, \dots, -i\hbar$

sajátértékek

0	$S^2 = 0\hbar^2$	$S_z = 0\hbar$	$\frac{1}{2}$	$S^2 = \frac{3}{4}\hbar^2$	$S_z = \frac{1}{2}\hbar, -\frac{1}{2}\hbar$	↑ ↓	1	$S^2 = 2\hbar^2$	$S_z = \hbar, 0, -\hbar$	↑ ↓
---	------------------	----------------	---------------	----------------------------	---	-----	---	------------------	--------------------------	-----

$2i+1$ db állapot

gerjesztett 2^+

alap 0^+ $I^{\pi} \rightarrow$ paritás

γ -foton \rightarrow EM-tér \rightarrow perdület - és

paritás sajátállapot

vektorgömbf. el Y_{lm}

γ -sugárzás multipolaritása

$G \rightarrow A + \gamma$

$\frac{\hat{I}_G}{\hbar} = \frac{\hat{I}_A}{\hbar} + \frac{\hat{L}_\gamma}{\hbar}$

perdületmegmaradás tr.
↓ kvantum
spinet típusa

$|i_G - i_A| \leq l \leq |i_G + i_A|$

kvantummechanikai perdületvektorok összeadási

em sugárzás

- $l=0 \rightarrow$ izotrop sugárzás
- $l=1 \rightarrow$ dipól
- $l=2 \rightarrow$ kvadrupól
- $l=3$

\rightarrow NINCS stabilya ILYEN

$1^+ \rightarrow 0^+$ dipól $\left\{ \begin{array}{l} \text{Elektromos } (-1)^l \text{ paritású} \\ \text{mágneses } (-1)^{l+1} \text{ paritású} \end{array} \right. \quad \begin{array}{l} \pi_E = (-1)^l \\ \pi_M = (-1)^{l+1} \end{array}$

paritásmegmaradás

$\pi_G = \pi_H \cdot (-1)^l \in \rightarrow$ nem jó
 $(-1)^{l+1} (M)$ tehát (M) mágneses dipólsug. járulék

$2^+ \rightarrow 0^+$

$12-01 \leq l \leq 12+01 \quad l=2$

$+1 = +1 \cdot (-1)^l \quad \pi_g = +1 \Rightarrow E^2$ elektromos kvadrupól sug.

$\frac{3^-}{2} \rightarrow \frac{1^+}{2}$

$|\frac{3}{2} - \frac{1}{2}| \leq l \leq |\frac{3}{2} + \frac{1}{2}| \quad l = 1, 2$

$-1 = +1 \cdot \pi_g \quad \pi_g = -1$

ha $l=1 \Rightarrow$ elektromos dipól

ha $l=2 \Rightarrow$ mágneses kvadrupól

valószínűségeket: $p(E1) > p(M1) \approx p(E2) \dots$

gyors átmenet

annak lassú hosszú felezési idejű (>1perc) állapotok \rightarrow izomér

Sugárzás és anyag kölcsönhatása

$\hookrightarrow \alpha, \beta, \gamma$

\hookrightarrow detektor

töltött

$(e^-, \mu^-, \pi^+, p^+, \alpha \dots)$

- ionizáció

- felezési sugárzás

semleges

$(\gamma, n^0, \nu \dots)$

- γ : fotoeff., Compton, pártelérés

- n^0 : ütközik p^+ -nal, atommaggal
magreakció

- ν : ütközik e^- -vel, magreakció

Töltött részecskék energialeadása

nehéz t.r.-t

$\frac{dE}{dx} = -\sigma_{\alpha}$

ionizáció

$\frac{1}{m}$ miatt

X

sugárzás

elektronok

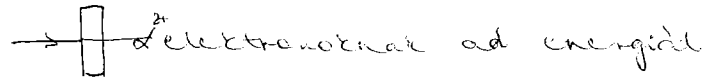
$\frac{dE}{dx} = -\sigma_{\beta}$

$\frac{dE}{dx} = ?$

Nehéz töltött részecskék ionizációs energiavesztése:

Bethe-Bloch-formula:

$$\frac{dE}{dx} = -\sigma_{\text{stop}}$$



$$\Delta p = p = F \Delta t$$

$$\int F dt = p$$

közelítések: 1. α pályája egyenes

2. $v = \Delta v$. ($\Delta v \ll v$)

3. electron nem mozdul el $\Delta r_e \ll b$

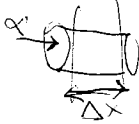
$$\int F_{\parallel} dt = 0$$

$$\int F_{\perp} dt = p = \int_{-\infty}^{\infty} \frac{ke^2 Z \alpha}{r^2} \cos \varphi dt = \int_{-\pi/2}^{\pi/2} \frac{ke^2 Z \alpha}{r^2} \frac{r}{v} d\varphi = \frac{ke^2 Z \alpha}{v} \int_{-\pi/2}^{\pi/2} \frac{d\varphi}{r} = \frac{ke^2 Z \alpha}{vb} \int_{-\pi/2}^{\pi/2} \cos \varphi d\varphi$$

$r \cos \varphi = b$

$$= 2 \frac{ke^2 Z \alpha}{vb} = p$$

$$E = \frac{p^2}{2m_e} = \frac{4(ke^2)^2 Z^2}{2mb^2 v^2}$$



$$N(b) = n \cdot 2\pi b \cdot db \Delta x$$

ennyi db elektron

$$dE(b) = N(b) E_1 = N(b) \frac{4k^2 e^4 Z^2}{2mb^2 v^2} = n 2\pi k db \Delta x \frac{2k^2 e^4 Z^2}{m_e v^2 b}$$

$$\frac{dE}{dx}(b) = 4\pi k^2 e^4 n \frac{Z^2}{v^2 m_e b}$$

$$\frac{4\pi k^2 e^4 n Z^2}{m_e v^2} \int_{b_{\min}}^{b_{\max}} \frac{db}{b} = \frac{4\pi k^2 e^4 n Z^2}{m_e v^2} \ln \frac{b_{\max}}{b_{\min}}$$

$$\frac{b_{\max}}{b_{\min}} = \sqrt{\frac{E_{\min}}{E_{\max}}}$$

$$= \frac{4\pi k^2 e^4 n Z^2}{m_e v^2} \left(\ln \frac{E_{\min}}{E_{\max}} = + \frac{4\pi k^2 e^4 n Z^2}{m_e v^2} \ln \frac{E_{\min}}{E_{\max}} \right)$$

$$E_{\min} > E_{\max}$$

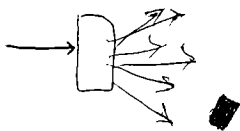
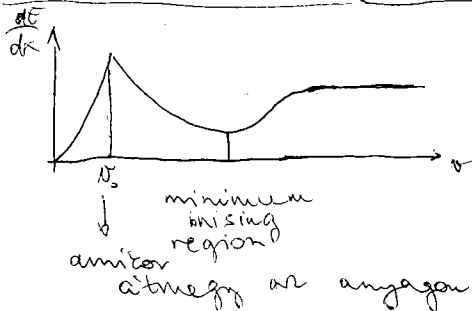
b_{\min} -hez tartó max. E

kvantumeldinben ez nincs itt

$E_{\max} = I$ $E_{\min} = 2m_e v^2 \rightarrow$ mert ütközés után az elektronnak lesz $2v$ sebessége

$$\frac{dE}{dx} = - \frac{4\pi k^2 e^4 n Z^2}{m_e v^2} \left[\ln \frac{2m_e v^2}{I} - \ln(1-\beta^2) - \beta^2 \right]$$

polarizációs tag $\beta = \frac{v}{c}$ relativistikus korrekció



statist.

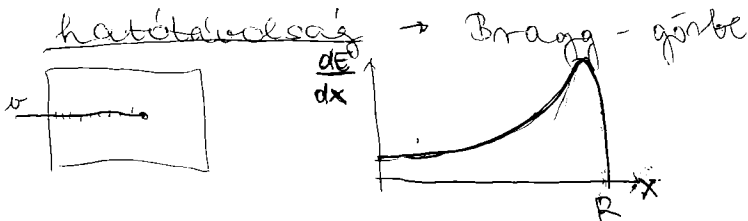
$$\frac{dE}{dx} = k \frac{Z^2}{v^2}$$

különböző izotópot energiakidrást számolják "ln" tag kb. állandó

$$E = \frac{1}{2} M v^2 \approx \frac{1}{2} A M_N v^2 \Rightarrow \frac{E}{A} \sim v^2$$

$$\frac{dE}{dx} \sim \frac{Z^2 A}{E}$$

pl. ha 1 MeV proton lead 10 keV arrol mennyit energiát ad le egy 6 MeV energiájú ¹²C ? $\frac{10 \text{ keV}}{?} = \frac{1 \cdot 1}{\frac{1 \text{ MeV}}{6 \cdot 11}} \quad ? = 660 \text{ keV}$



$$R = \int_0^R dx = \int_{E_0}^0 \frac{dx}{dE} dE = - \int_0^{E_0} \frac{1}{\frac{dE}{dx}} dE = \int_0^{E_0} \frac{dE}{\frac{dE}{dx}} = \int_0^{E_0} \frac{dE}{(\dots) \frac{Z^2 A}{E}} = \frac{(\dots)}{Z^2 A} \int_0^{E_0} E dE \Rightarrow R \sim \frac{E_0^2}{Z^2 A}$$

$$R \sim \frac{E^{-\alpha}}{Z^2 A} \quad \alpha \approx 1,8$$

cselleges

straggling

elektron → ionizációs E veszteség → bonyolult Bethe-Block $\frac{m_e v^2}{4\pi\epsilon_0} \ln \left(\frac{m_e v^2 Z}{I} \right)$

→ sugárzásos E veszteség → féterési sugárzás

$$\frac{dE}{dx} \Big|_{\text{sup}} = (\dots) n_a E^2 \epsilon_{\text{közeg}}$$

$$\frac{dE}{dx} \Big|_{\text{ion}} = (-) n_a Z \epsilon_{\text{közeg}}$$

$$\frac{(dE/dx)_{\text{sup}}}{(dE/dx)_{\text{ion}}} = E Z \epsilon_{\text{közeg}} (\dots)$$

critikus energia minden közegben, amikor a sugárzás kezd dominálni az ionizáláshoz képest $\frac{(dE/dx)_{\text{sup}}}{(dE/dx)_{\text{ion}}} = 1 = E Z \epsilon_{\text{közeg}} (\dots) = \frac{E Z \epsilon_{\text{közeg}}}{800 \text{ MeV}}$

féterési sugárzás

$$N(\nu) \sim \frac{1}{\nu}$$

ν frekvenciájú fotonok valószínűségi sűrűség fv. -e

$$\frac{dE}{dx} = (\dots) \int N(\nu) h\nu d\nu = (\dots) \int_0^{\nu_{\text{max}}} d\nu = (\dots) h\nu_{\text{max}} = -(\dots) E$$

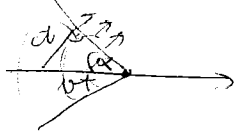
$$\frac{dE}{dx} = -\alpha E$$

$$E(x) = E_0 e^{-\frac{x}{x_0}}$$

$\alpha = \frac{1}{x_0} \rightarrow$ sugárzási koeff.

Cserektor - sugárzás:

- 1.) közeg törésmutatója $n > 1$ $c = \frac{c_0}{n}$ közegbeli fényseb.
- 2.) közeg bocsátja ki $v_{elektron} > \frac{c_0}{n} \rightarrow Cs-sug.$
- 3.) koherens dipól sugárzás



$$\sin \alpha = \frac{c}{v} = \frac{c_0}{nv}$$

1.) $v \approx c_0$ gyors $\sin \alpha \approx \frac{1}{n}$

2.) $v \approx \frac{c_0}{n}$ lassú $\sin \alpha \approx 1$ $\alpha = \frac{\pi}{2}$

Cserektor - detektor
differenciális \sim



\rightarrow adott sebességre érzékeny

05.06.

vizsgák: 19. kedd
május 21. csütörtök

Semleges részecskék és anyag kölcsönhatása

- \hookrightarrow neutron, (kaon ...)
- \hookrightarrow neutrínó
- \hookrightarrow γ -foton

γ -sugárzás és anyag:

= elektronokkal hatnak kölcsön

$$\lambda_\gamma = \frac{hc}{h\nu} \approx \frac{200 \text{ MeV fm}}{2 \text{ MeV}} \approx 100 \text{ fm} = 0,1 \text{ pm}$$

1. fotoeffektus \rightarrow gyorsabban elektronon? $m \rightarrow$

$$\text{imp: } \frac{h\nu}{c} = p_e$$

$$\text{en: } h\nu \neq m_0c^2 = \sqrt{p_e^2 c^2 + m_0^2 c^4}$$

$$(h\nu)^2 + (m_0c^2)^2 + 2h\nu m_0c^2 = (h\nu)^2 + m_0^2 c^4$$

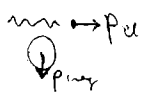
$\frac{1}{2} \Rightarrow$ nem lehet

2. Compton - szórák

3. pártelítés \rightarrow csak külső em térben \Rightarrow atommag közelében

csak akkor van fotoeffektus, ha van melegebb részecské:

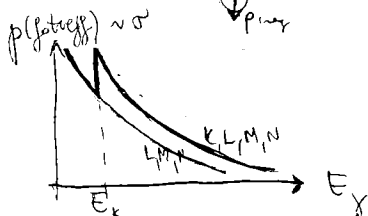
Atommag felém



\Rightarrow közel az atommaghoz lesz fotoeffektus \Rightarrow 1s

K híjon a legnagyobb a fotoeff. valószínűsége

\rightarrow energiafüggés b)



c) fotoeff. rendszámfüggése : nagyobb rendszám esetén nagyobb a fotoeffektus valószínűsége virtuális foton, amit a gyorsan mozgó koordinátarendszerben érzékelünk az em tőlből

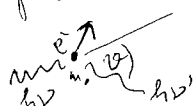
$n_{v.f.} \sim |E|^2$ ezekkel is lehet lenni a fotoeff-t

→ közel az atommaghoz valószínűbb ⇒ rendszámfüggés $F \sim \frac{eZ}{r^2} \Rightarrow |E|^2 \sim Z^2 \Rightarrow$ nagy rendszám ⇒ sok virtuális foton ⇒ nagy valószínűség

$p(\text{fotoeff}) \sim Z^5$ → több effektus miatt

pl. domóveg detektor, szilícium, germanium → félvezető detektorok

② Compton



a) $h\nu' = \frac{h\nu}{1 + \frac{h\nu}{m_0c^2}(1 - \cos\theta)}$

b) átvitt energia maximuma :

$\theta = 180^\circ$ -nél

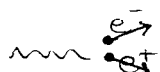
$E_{e, \max} = \frac{m_0c^2}{2} \left(\frac{h\nu}{m_0c^2} + 1 \right)$

c) valószínűség a rendszám függésében?

$p \sim Z$ → mert a sok elektront egyformának látja

③ párteltés

tüskőenergia : $E_{min} = 2m_0c^2 < E_\gamma$

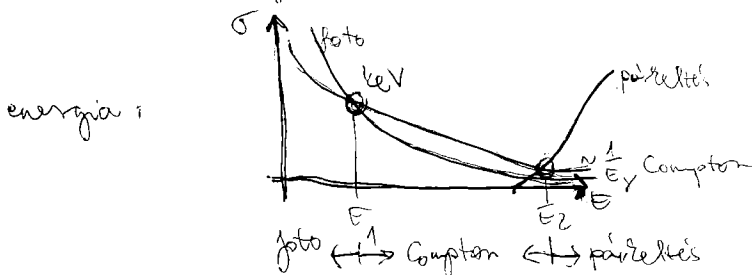


kell egy tüskő em tér

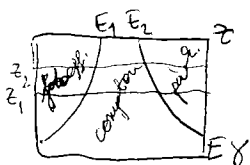
ha elektron térben van $E_{tüskő} = 4m_0c^2$

$p(\text{párteltés}) \stackrel{?}{=} f(E)$
↑
 Z^2

a három folyamat összehasonlítása :



rendszámmal E_1 nő, E_2 csökken

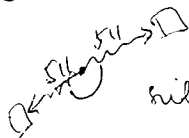


annihiláció : 511 keV-es fotonok

pozitronium : $e^- + e^+$ mint egy kétösszilág

PET

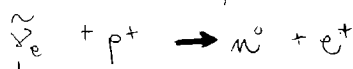
coincidencia



szilárdtestfizika \rightarrow rögzített mérés

Neutrínó detektálási technikák

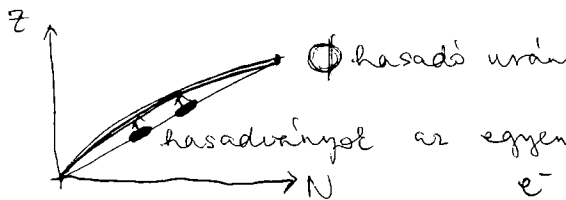
antineutrínó + proton



gyorsnak kell lennie $\rightarrow E_{\text{kinet}} \gg E_{\text{rest}}$

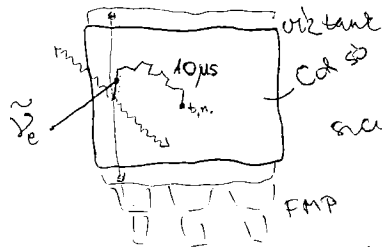
energia, impulzus, töltés
barionszám } megmarad
elektronikus leptonszám

Reines - Cowan



hasadó urán az egyenesen $\rightarrow \beta^-$ bomlás
 $e^- + \bar{\nu}_e$

atomreaktor mellett detektálunk

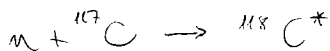


termikus neutron : $\frac{1}{2} m v^2 = \frac{3}{2} k_B T$ szobahőm.

scintillációs detektorok \rightarrow fotoelektronoszorozók

coincidencia hamar 511-es fotonokkal

kadmium sz \rightarrow kadmium neutronbefogás



esemény: 511-es fotonok coincidiálva

és 10µs múlva még két foton

3 foton egymás után
coincidencia \Leftarrow gyorsan
10µs múlva

kétszerezett dupla coincidencia esemény

háttérrel nem lesz ilyen nagy aránytalánssal

atomreaktornál naponta ≈ 36 bűntés

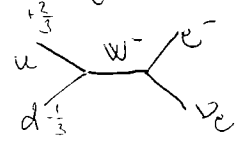
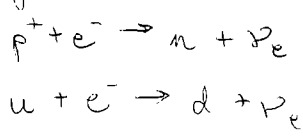
$$\sigma = 0,18 \text{ ab (attobarn)}$$

Neutrínók:

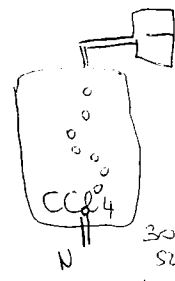
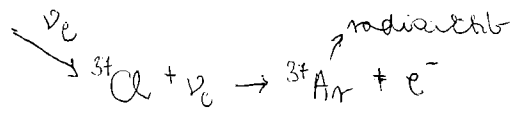
geoneutrínók : a földben lévő β^- bomlás anyagokból
 U, Th bomlás során

Napneutrínó:

elektronbefogással: ${}^7\text{Be} + e^- \rightarrow {}^7\text{Li} + \nu_e \rightarrow$ monoenergiás ν_e



1957 Davis



3000l szén-tetrallori N

sóbilnya (Homestate)

nitrogénre kibánszékeltatással lehet

kiszűrni az argont \rightarrow ionizációs kamrával detektálni

meg lehet számolni a neutrínókat

$N_n = \sigma \cdot N_{cl} \cdot \Phi_\nu \cdot t$

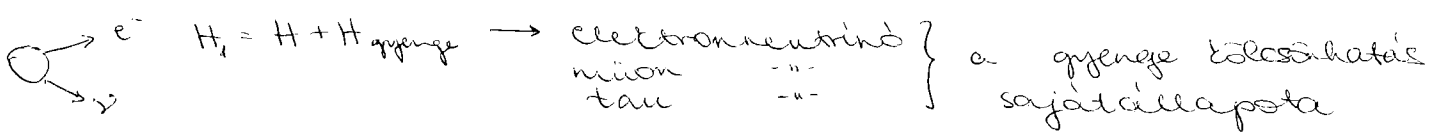
ezt ismertté téve próbálta σ -t megismerni

utána Φ_ν a naptól is számolható lett

$\Phi_{napmirell} = 3 \Phi_{mért}$

az elektronneutrínó átalakulhat mionneutrínóvá, ez a

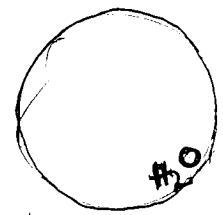
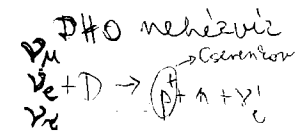
neutrínóoszilláció:



$H_0 = H_{antid}$ ha $m_\nu = 0$, akkor a sajátállapota a két esetben megegyeznek

ha $m_\nu \neq 0$, akkor nem egyeznek meg \rightarrow a sajátállapot H_0 -nál a H_1 keverékei lesznek \Rightarrow átalakulhatnak egymásba saját állapot

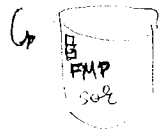
Suthbury Neutrino Observatory



ν_e meglát egy e^- , hogy cserentő-sugaron \Rightarrow felvilágosít

detektorok:

Kamiskande, nagy vízben FMP-et \rightarrow 1000 m víz alatt



Ízjél, földközi-t,

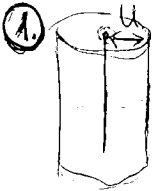
D: kötési en: 2,2 MeV

Detektorok

lőttáma $\left\{ \begin{array}{l} \text{Wilson} \\ \text{diffúziós} \end{array} \right.$
 buboréktáma

G-M \odot
 ionizációs \odot
 félvezető
 Cséműtő
 scintillációs \leftarrow szilárd
 folyadék

- 4 típus: ① gáz-töltésű: ionizációs táma, proporciós táma, \odot
 ② félvezető: Ge, Ge-Li, Si-Li
 ③ scintillációs: NaI, folyadék, TLD (termolumineszcens dóziméter)
 és Cséműtő
 ④ vizuális det: lőd, buborék, nyomdetektor, emulzió
 fotólemez,



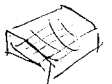
elektronlavina

\hookrightarrow ha nem indul be \rightarrow ionizációs táma

$E_d \sim N_{ion} \cdot e \sim I$ \hookrightarrow lehet impulzusüzeműben vagy áramüzeműben $I_{akt} \sim \frac{Nd}{t}$

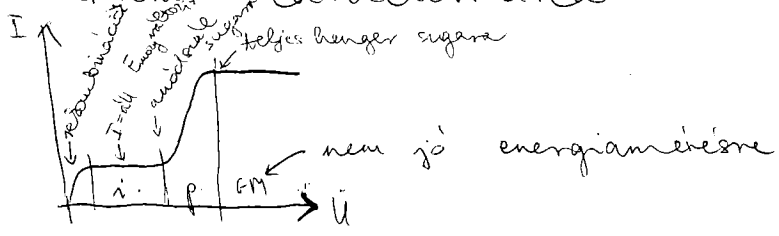
ionizációs anyag e^- jön az anódra ahány feltöltött

2) proporciós táma \rightarrow nagyobb feszültség
 $N_{ion} > N_e \rightarrow$ gázerosztás

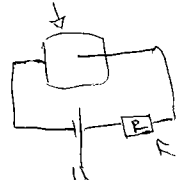


számlálás p.t. \rightarrow azt is lehet tudni merre ment a részecske

3) G-M cső \rightarrow attól a feszültségtől, hogy állandó feszültség - áram karakterisztika

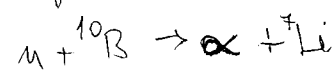


le \downarrow kell zárni



gyors β p.t. \rightarrow jó nagy töltődés a részecske

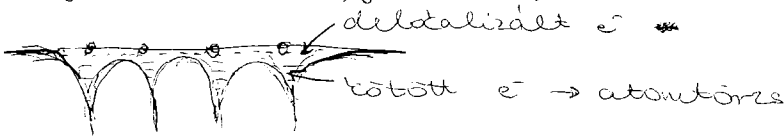
Neutrondetektor: \rightarrow visszatöbbleten alapuló magreakción alapuló lassú neutronokra \rightarrow BF_3 gázból GM cső



${}^{10}\text{B}(n, \alpha){}^7\text{Li}$
 $\uparrow \quad \uparrow \quad \uparrow \quad \uparrow$
 cél be ki maradvék

$\left. \begin{array}{l} {}^{10}\text{B} \\ {}^6\text{Li} \\ {}^{113}\text{Cd} \end{array} \right\} \text{atommag} \cdot 100 = \sigma \sim \frac{1}{10}$

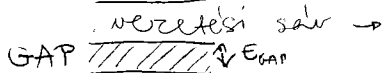
② félvezető egykristályból van



e^- hullámf. - e^- sor atomtörzsre terjed ki
ahány e^- annyi ~~energia~~ energiaszint \rightarrow sáv
kristályraics \Rightarrow sávstruktúra

félvezető \rightarrow speciális sávstruktúra

ha $E_{GAP} = 3.3 \text{ eV}$ (nagy)

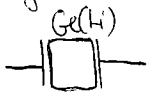


nígtelek ha $E_{GAP} < 1 \text{ eV}$

vegyérték sáv \rightarrow vegyértékelektronok

vezetési sávban mehet akárhol az elektron

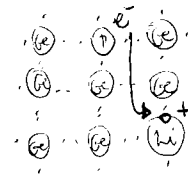
félvezető ha $E_{GAP} \approx 1 \text{ eV}$



Ge, Si

litiumot belediffundálnak

hűteni kell különben nem működik

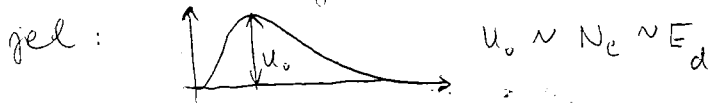


n típusú (negatív) szennyezés

p típusú (pozitív) szennyezés

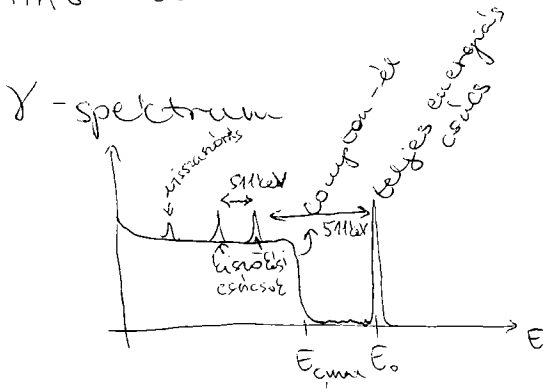
újabb: HP(Ge) high purity (nagyon tiszta)

ilyenkor is lehűtjük a hőmozgás miatt \rightarrow folyékony N
ion a δ -foton \rightarrow elektront kilöti \rightarrow ionizál még néhányat
 \rightarrow a rátapcsolt fén. miatt kinemelt a szelvére
vegyértéksávban semlegesítődnék a lyukak lassan

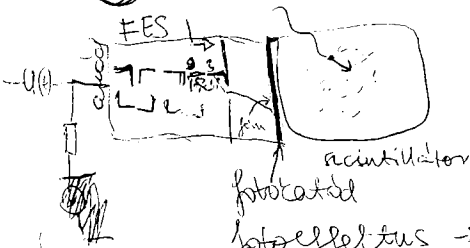


monoenegias gamma sugárzás E_0

- 1) $E_d = E_0$ röntgen foto
- 2) $E_d = E_0$ Compton néhányszor utána foton
- 3) $E_d < E_{c,max}$ Compton után kinegy
- 4) $E_d = E_0 - 511 \text{ keV}$ pártveletés \rightarrow kinemelt amelyik 511 keV-es foton
 $E_d = E_0 - 1022 \text{ keV}$
- 5) $E_d < E_0$ több Compton után megy ki
- 6) $E_d^{Compton} (\theta = 180^\circ)$ visszavisszavertett foton detektálható fotonnal



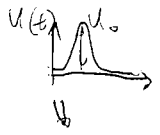
③ scintilláló anyag + fotoelektron-szorzó



gerjesztődnek az atomok → villanás

$$E_d \sim N_{gerjeszteto} \sim N_{kathodo\ foton\ fenyhozam}$$

fotofeltus → fotoelektron → befőtusorálódik → lassú e⁻ becsapódik
 3 e⁻-t kelt → ezek a következő dinódán megrint
 megháromszorozódnak → ~10-12 dinóda



$$U_0 \sim N_{And} \sim N_{fotoelektron} \sim N_{ef} \sim L \text{ fenyhozam kevee}$$

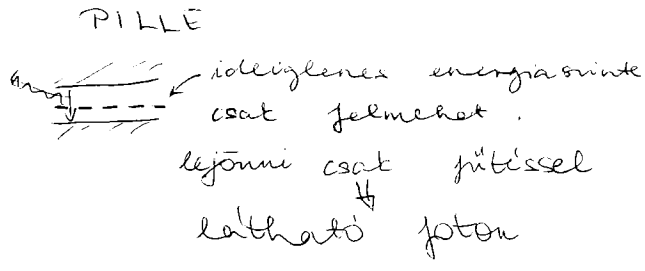
amplitudóanalizátor

$$\frac{N_{LF}}{N_{1k}} = L$$

1 keV elektron által keltett fotonszáma

④ az összes vizuális detektor: ^{metastabil állapot} metasztabil állapot kell fenntartani (tűlfűtés, túlűtés ...)

Termolumineszcens doziméter



Sugarvidélem

elnyelt dózis: 1kg teströvet hány J energiát nyelt el
 $D = \frac{E}{m}$ $\frac{J}{kg} = [D] = Gy$

egyenérték dózis: milyen biológiai hatása van az elnyelt dózis

$$H = D \cdot Q$$

↳ minőségi faktor

$$\gamma, e^-: Q = 1$$

$$\alpha, n, p: Q = 20$$

$$\left\langle \frac{dE}{dx} \right\rangle_x > \frac{dE}{dx}_e$$

effektív dózis: a szivettől is függ

$$H_{\text{eff}} = \sum_i w_i H_i$$

$$[H] = \text{Sv} \quad (\text{szivert})$$

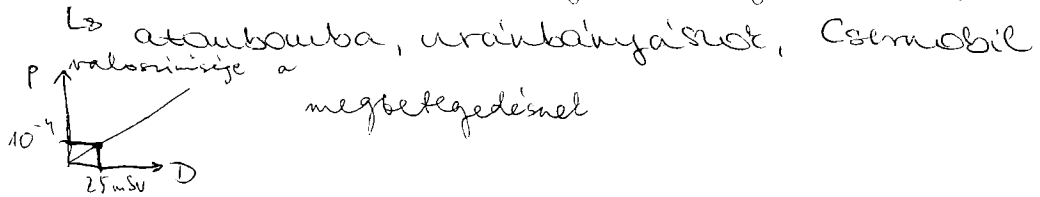
Nagyságrendek súlyfaktor \uparrow szivettől származó

átlagos minden: 2,4 mSv/év

felhalálós: 5 Sv

közvetlen káros 300 mSv fölé, alatta véletlenszerű

terhelést 25 mSv/év a veszélyes helyen dolgozóknak



munkahelyi kockázat: halálos baleset / év

társadalmilag átlagos munkahelyi kockázat \rightarrow ország